

Pattern Recognition: Homework #5

Professor Wang Guijin

Qingyun Fang

2017311003

Use L^AT_EX in 4.18 2018

Problem One

非线性分类器

分离圆点和三角形的两类数据，如下图 1 所示：

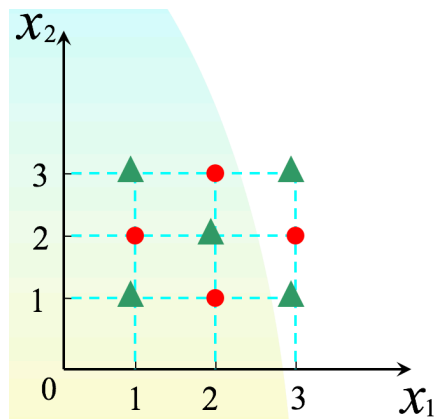


图 1: 两类数据分类要求

Analysis and Result

首先我们观察到这两类数据在 2 维平面内是不存在线性的分类器，对于非线性的分类器，可以从 2D、3D 或者更加高维的超空间内进行分类。

2D 分类

在 2D 空间内，我们可以使用两对双曲线来实现，具体分类结果如图 2 所示：

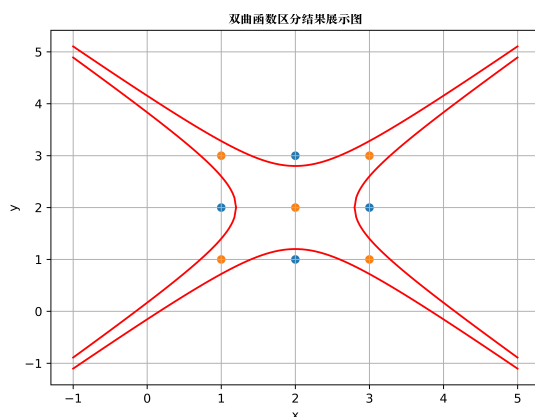


图 2: 两对双曲线分类结果

上述分类函数是根据 $y = \frac{0.64}{x}$ ，平移 (2,2)，再旋转逆时针 45° 得到，利用旋转的特性 $u = \frac{x+y}{2}$, $v = \frac{x-y}{2}$ ，

代入即可得到最终分类界面曲线为：

$$\begin{cases} y = \sqrt{(x-2)^2 + 0.64} + 2 & \text{上侧函数} \\ y = -\sqrt{(x-2)^2 + 0.64} - 2 & \text{下侧函数} \\ x = \sqrt{(y-2)^2 + 0.64} + 2 & \text{右侧函数} \\ x = -\sqrt{(y-2)^2 + 0.64} + 2 & \text{左侧函数} \end{cases}$$

3D 分类

在 3D 空间内可以考虑 $\sin(xy)$ 函数形式和立体圆环形式：

假设在 3D 空间内，数据点的 z 坐标都为零，这里可以利用 $\sin(xy)$ 类函数对这两类数据进行分类，一类在 $\sin(xy)$ 类函数上侧，一类为下侧。这里展示 $\cos(xy)$ 的 3D 分界面：

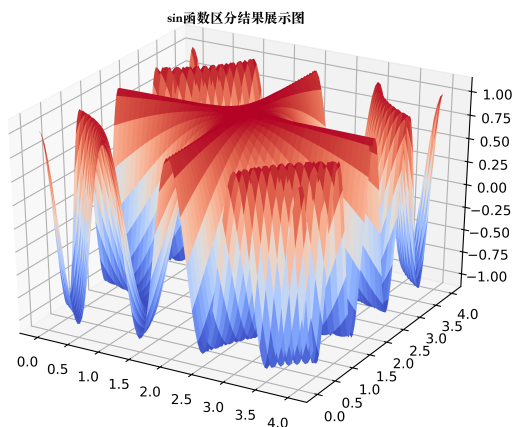


图 3: sin3D 分类结果

再利用上述中平移和旋转的步骤，得到最终的分界面的函数形式如下：

$$z = \sin\left(\pi\left(\frac{x+y}{2} - 2\right)\left(\frac{x-y}{2} - 2\right)\right) = \sin\left(\pi\frac{x^2 - y^2 - 8y + 16}{4}\right)$$

将上述两类数据坐标点代入到方程中，可以得到，红点值为 $-\frac{\sqrt{2}}{2}$ ，绿色三角形点的值为 1，因此红点都在分界面的上方 ($-\frac{\sqrt{2}}{2} < 0$)，而绿色三角形点都在分界面的下方 ($0 < 1$)，从而区分出两类数据。

此外在 3D 空间中可以利用立体的圆环通道来实现分类，其立体圆环通道如下：

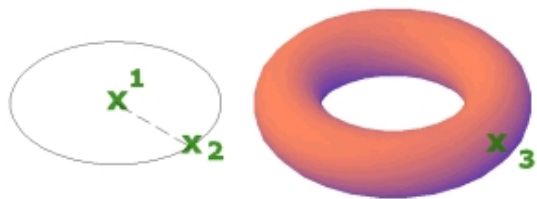
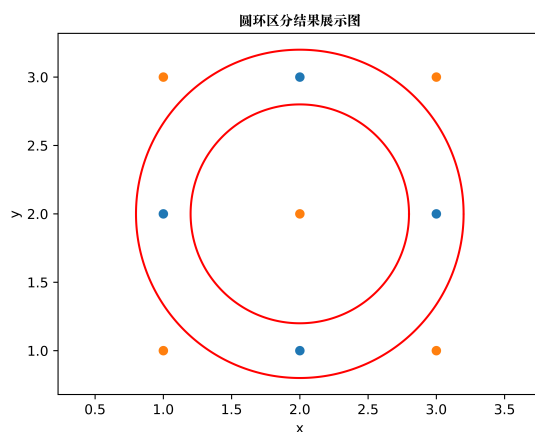


图 4: 3D 圆环

在 $x-z$ 平面内，立体圆环的截图是一个圆，其方程为： $(x-1)^2 + z^2 = 0.2^2$ 。利用绕 z 轴旋转生成立体图像的性质，即 x 用 $\sqrt{x^2 + y^2}$ 代入，得到最后的方程如下：

$$(\sqrt{x^2 + y^2} - 1)^2 + z^2 = 0.2^2$$

为了方便观察将其投影到 $x-y$ 平面，结果如下：

图 5: 3D 圆环在 $x-y$ 平面内的结果

在圆环内为一类，在圆环外另一类。

Problem Two

迭代修正求权向量

$$\omega_1 = \{(1, 1); (2, 0); (2, 1); (0, 2); (1, 3)\}$$

$$\omega_2 = \{(-1, 2); (0, 0); (-1, 0); (-1, -1); (0, -2)\}$$

求解如下问题：

- 迭代修正求权向量的方法，求上述两类的线性识别函数
- 迭代修正求权向量的方法，求上述两类的线性识别界面
- 画出该识别界面将训练样本的区分结果图示

Analysis and Result

S 集合生成

权空间将识别界面问题转为求解权向量 w 的问题，在利用其求解两类分类问题时，可以利用小技巧将识别界面约束条件全部转换为 > 0 的形式，即：

$$\begin{cases} w^T x'_i > 0 \\ w^T y'_i < 0 \end{cases} \implies \begin{cases} w^T x'_i > 0 \\ w^T (-y'_i) > 0 \end{cases}$$

再令 $S = \{x'_1, x'_2, \dots, -y'_1, -y'_2, \dots\} = \{z'_1, z'_2, \dots\}$ ，即可得： $w^T z'_i > 0$

线性识别函数

根据线性识别函数的定义，我们可以得到：

$$D(x'_i) = w^T x'_i > 0, D(y'_i) = w^T y'_i < 0$$

线性识别界面

根据迭代法的步骤，最后求解出的线性界面为：

$$4w_1 + 2w_2 - 1 = 0$$

识别界面区分结果

图 6 为线性界面区分两类数据结果：

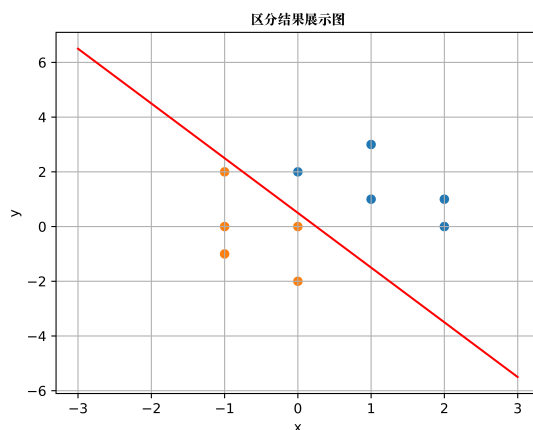


图 6: 迭代修正权空间区分结果

分析思考

经过测试迭代修正求权向量法对初值比较敏感,比如上面结果结果中,我选取的初始的 $w = \{0, 0, -3\}$, 但将这个参数改为 $w = \{0, 0, 0\}$ 时, 得到的界面结果就不一样了, 区分界面方程如下:

$$4w_1 + w_2 - 1 = 0$$

区分界面结果如下图 7:

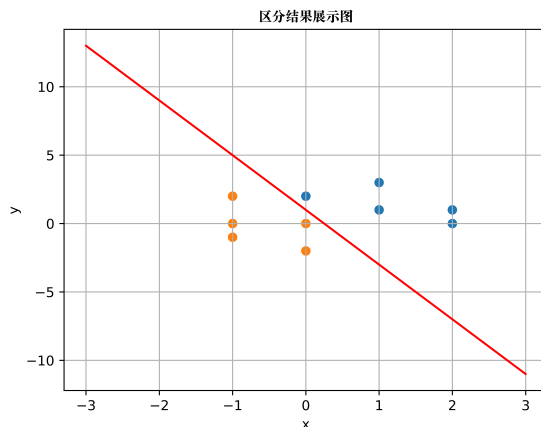


图 7: 初始权重为 $w = \{0, 0, 0\}$ 迭代修正权空间区分结果

并且迭代修正的权向量法对这些界面方程的“打分”都是一样的,也就是说只要分类结果是对的,此类算法认为这些界面的“打分”都是一致的,这一点不像 SVM, SVM 是最小化“风险”,它会选取“风险”最小的风界面,这些所有正确分类分界面的“打分”是不一致的。

当然对于迭代参数 c 来说,其值结果只会成倍的方法 w_1, w_2, w_3 ,而成倍方法并不会影响最后的界面方程。

改进迭代修正权向量法

上述算法的计算时间偏长,因为其算法每改变 w_k 需要对整个样本都进行遍历,注意这个改变只是针对 $w^T z'_i > 0$ 的一个样本而已,并没有利用后面样本的信息,因此这样的计算代价是比较高的。改进的迭代修正的权向量法,将在 S 的全体样本中,挑选出不满足条件 $w^T z'_i > 0$ 的样本,求其平均值 Z' ,再利用均值进行修正。

初始化权重为 $w = \{0, 0, 0\}$, 得到的界面方程如下:

$$2.4w_1 + 1.3w_2 - 1 = 0$$

改进算法界面分类结果如下图 8:

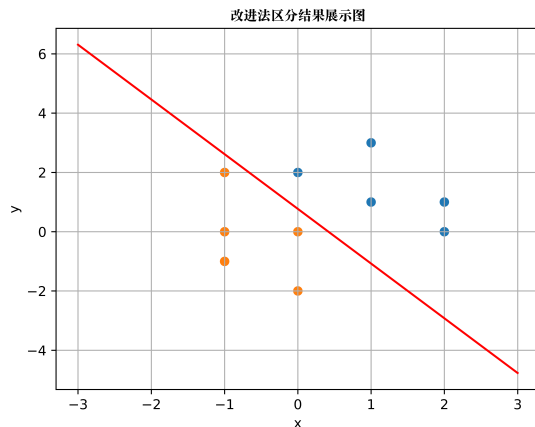


图 8: 初始权重为 $w = \{0, 0, 0\}$ 改进迭代修正权空间区分结果

我统计一下两种算法的 w 向量的迭代次数以及一共进行的点击操作次数（两者一定程度能反应收敛的速度），结果如下图 9：

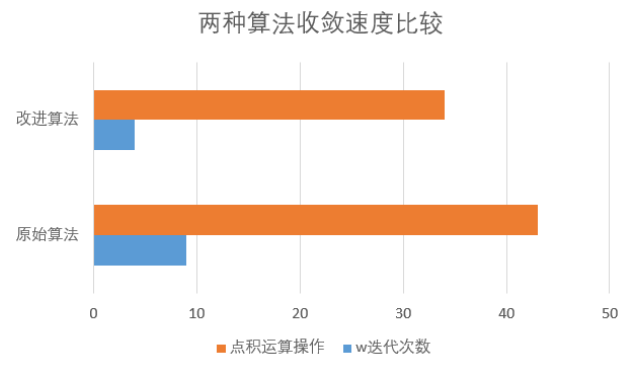


图 9: 两种算法迭代收敛速度比较

上述图 9 显示，无论是 w 的迭代次数还是点击操作次数改进的算法都优于原始算法，此外对两种算法的运行时间进行统计，原始算法运行时间为 0.000932s，改进算法的运行时间为 0.000847s(平台为: MacBook Pro, Intel Core i5, 3.1GHz, 内存 8 GB), 说明了在利用了全部样本的信息之后，算法的收敛速度得到了增强。